

\*\*\*\*\*

**Questão 01** (Valor 2,0): Um material que falha segundo o critério de Tresca (máxima tensão de cisalhamento) apresentou falha em um ensaio uniaxial de tração quanto  $\sigma_{ult} = 50 \text{ N/mm}^2$ . Uma chapa deste mesmo material está sujeita a um estado homogêneo de tensões tal como mostrado na figura 1. Inicialmente a peça está submetida a uma tensão de compressão  $\sigma_{yy} = (-)18 \text{ N/mm}^2$ . Em um segundo momento a peça é solicitada por uma tensão de tração  $\sigma_{xx}$ , tal como mostrado na figura. Assumindo-se que a peça está sujeita a um estado homogêneo de tensões, deseja-se saber:

- qual a máxima tensão  $\sigma_{xx}$  que pode ser aplicada na peça antes que haja falha,
- qual o plano em que ocorrerá a falha. Faça um esboço claro do plano em questão, indicado pelo ângulo  $\beta$ .

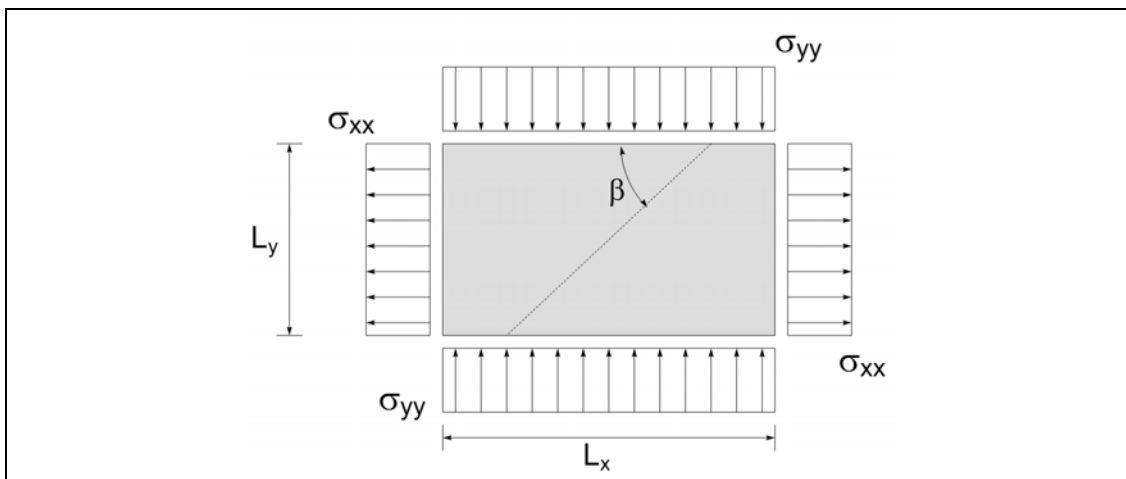


Figura 1: Peça sujeita a estado de tensão homogêneo

Solução:

1) Círculo de Mohr para ensaio de tração uniaxial, ver figura 2. A análise do círculo de Mohr conclui-se que a tensão máxima de cisalhamento que o material pode suportar é  $\tau_{\max} = \sigma_{ult} / 2 = 25 \text{ N/mm}^2$ .

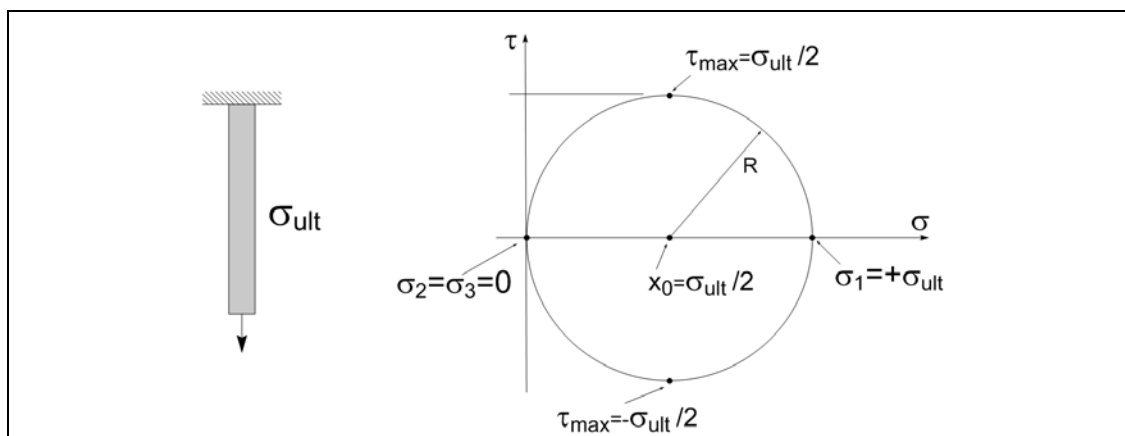


Figura 2: Ensaio de tração uniaxial e seu círculo de Mohr

2) Determinação da tensão máxima  $\sigma_{xx}$  que a peça pode suportar.

Já existe uma tensão  $\sigma_{yy} = \sigma_2 = -18 \text{ N/mm}^2$  aplicada, que é tensão principal, uma vez que não existe tensão de cisalhamento no plano. Também sabemos que  $\sigma_3 = 0$ . Como também não existe tensão de cisalhamento no plano que se aplica  $\sigma_{xx}$ , temos que  $\sigma_{xx} = \sigma_1$ . Desta forma a questão é saber qual tensão  $\sigma_1$  causa uma tensão de cisalhamento  $\tau_{\max} = \sigma_{ult} / 2 = 25 \text{ N/mm}^2$ .

Aplicando o critério de falha de Tresca, temos:

$$\tau_{\max} = \frac{\sigma_{ult}}{2} = \frac{(\sigma_1 - \sigma_2)}{2}$$

Colocando valores numéricos obtemos:

$$\tau_{\max} = \frac{50}{2} = 25 = \frac{(\sigma_1 - (-18))}{2}$$

Logo:

$$\sigma_1 = \sigma_{xx} = +32 \text{ N/mm}$$

O círculo de Mohr correspondente encontra-se na figura 3.

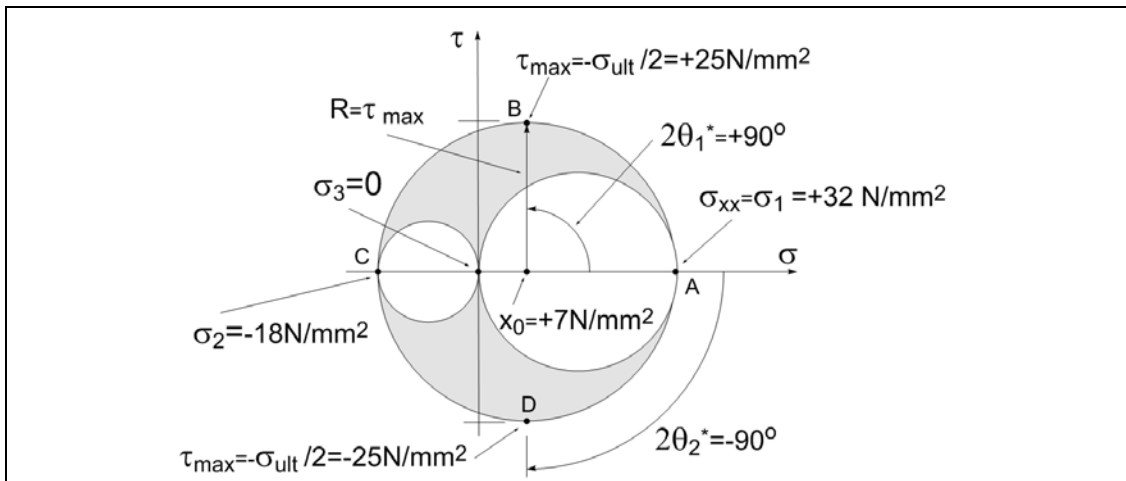


Figura 3: círculo de Mohr na condição de falha do material por Tresca

### 3) Determinação do plano de falha.

Conforme podemos observar na figura 4, os planos A e C são planos principais. Estes mesmos planos A e C estão indicados no círculo de Mohr da figura 3. Os planos de falha, segundo o critério de Tresca, são aqueles em que exista a maior tensão de cisalhamento. No círculo de Mohr da figura 3, estes planos de cisalhamento máximo estão indicados pelas letras B e D.

Note que partindo do ponto A, correspondente ao plano em que atua a tensão  $\sigma_{xx} = \sigma_1$ , podemos atingir o plano com tensão de cisalhamento positiva  $\tau_{\max} = +25 \text{ N/mm}^2$ , que corresponde ao ponto B, girando no círculo de Mohr o ângulo  $2\theta_1^* = +90^\circ$  no sentido anti-horário. Na situação física, vamos girar a metade do ângulo, no sentido horário, ou seja,  $\theta_1^* = -45^\circ$ . Esta passagem do plano principal, indicado pela letra A, para o plano de cisalhamento máximo, indicado pela letra B, está mostrada na figura 5, abaixo.

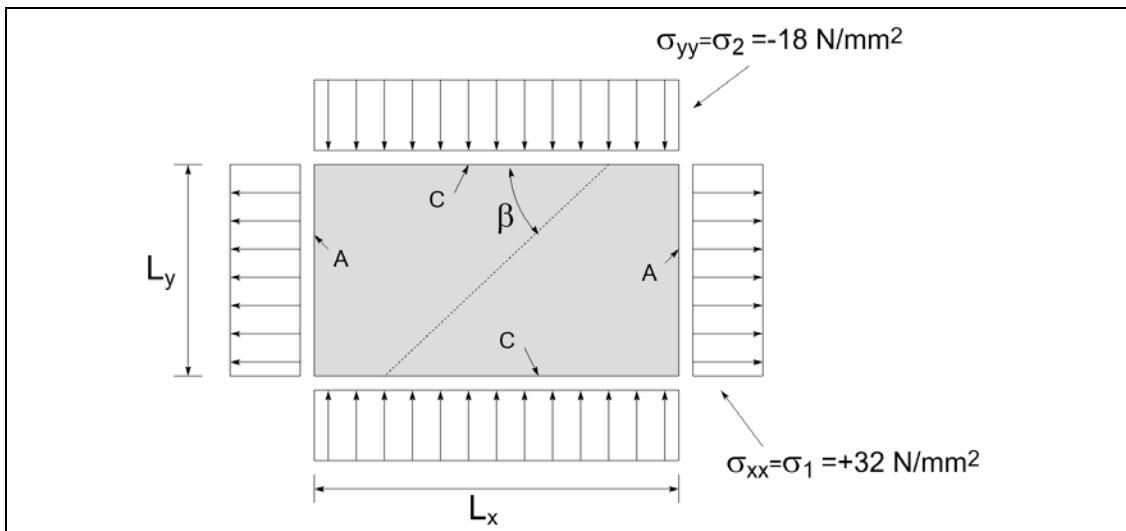


Figura 4: Planos A e C relacionados no círculo do Mohr

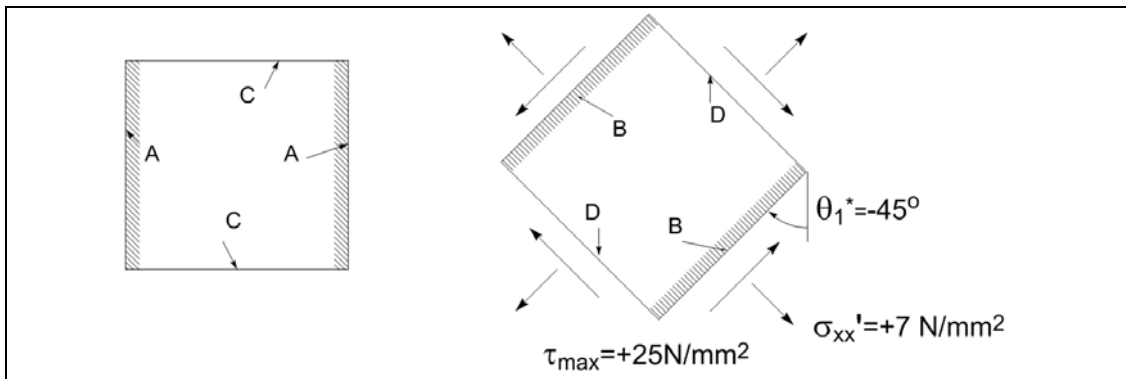


Figura 5: Do plano principal A para o plano de cisalhamento máximo B.

As tensões, normal  $\sigma'_{xx} = +7 \text{ N/mm}^2$  e tangencial máxima  $\tau_{\max} = +25 \text{ N/mm}^2$ , correspondentes ao plano B estão indicadas também na figura 5. A figura 6, por sua vez, indica o plano em que a tensão de cisalhamento máxima atua na peça.

Uma análise do círculo de Mohr da figura 3, indica que existe um outro plano de cisalhamento máximo, indicado pela letra D. Partindo-se do ponto A no círculo de Mohr pode-se chegar ao ponto D através de uma rotação no sentido horário de  $2\theta_2^* = -90^\circ$ . Na situação física esta plano é atingido girando-se a face A, no sentido anti-horário de um ângulo  $\theta_2^* = +45^\circ$ . O plano resultante está mostrado na figura 7.

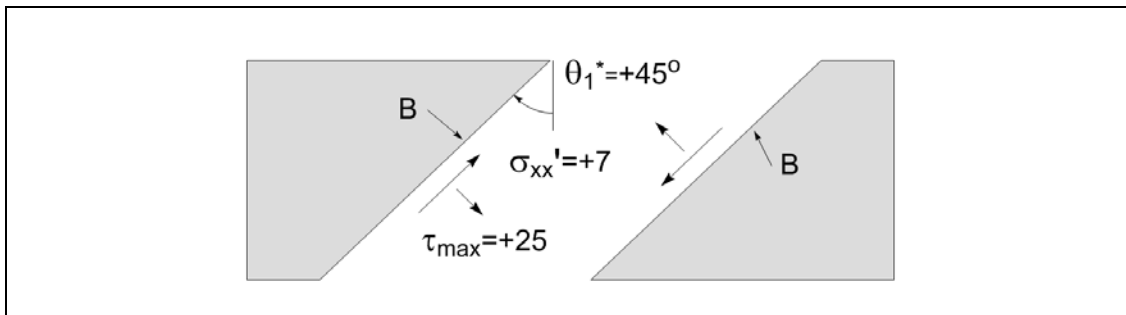


Figura 6: Plano de cisalhamento máximo positivo.

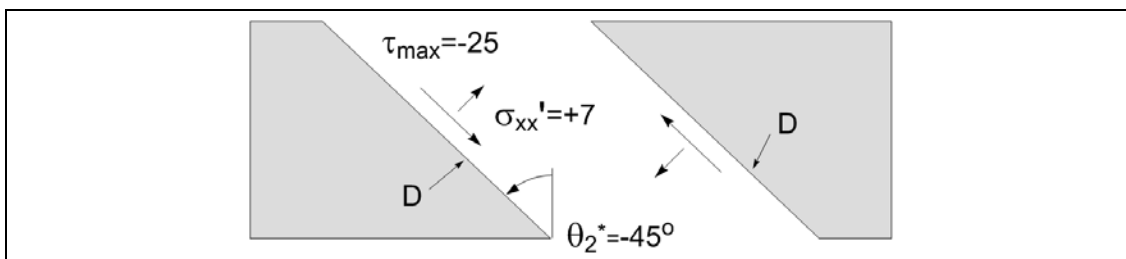


Figura 7: Plano de cisalhamento máximo negativo.

\*\*\*\*\*

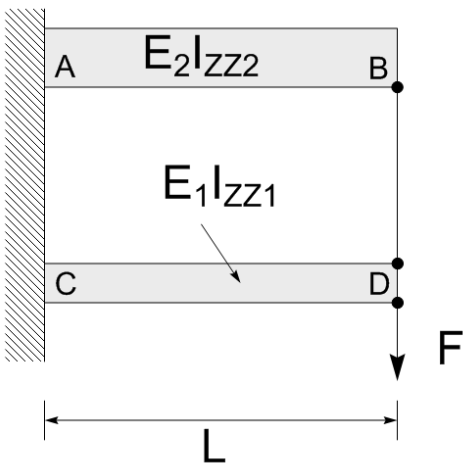
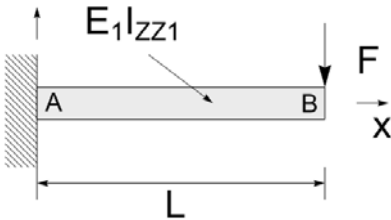
\*\*\*\*\*

**Questão 02** (Valor 4.0): Um sistema estrutural, mostrado na figura 2a, é composto por duas vigas (AB) e (CD) bem como por uma barra rígida (BD). Existe um força concentrada aplicada no ponto D, de intensidade F. Para esta sistema pede-se:

- Uma expressão analítica para a força na barra rígida BD,
- Sabendo-se que  $E_1 I_{ZZ1} = 1,134 \times 10^{11} \text{ N.mm}^2$ ,  $E_2 I_{ZZ2} = 2E_1 I_{ZZ1}$ ,  $L=1200\text{mm}$ ,  $F=5000\text{N}$ , pede-se o valor numérico da força na barra rígida BD.

Observação: Utilize a informação da equação de linha elástica da viga mostrada na figura

2b, abaixo:  $v(x) = \frac{F}{6EI} (x^3 - 3Lx^2)$

	 $v(x) = \frac{F}{6EI} (x^3 - 3Lx^2)$
<p>Figura 1a: Sistema hiperestático com duas vigas e uma barra rígida</p>	<p>Figura 1b: solução auxiliar</p>

**Solução**

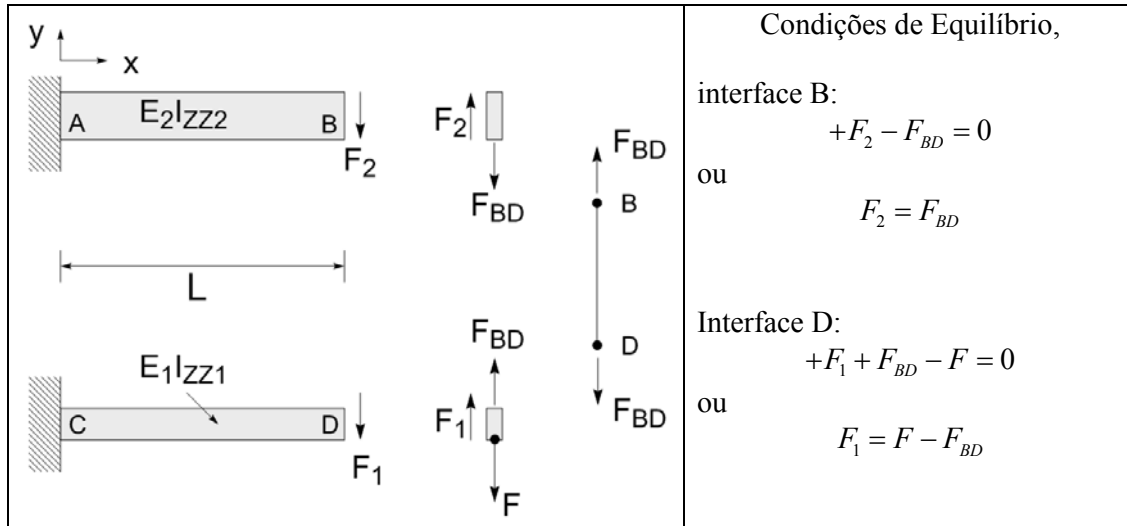
1) Decomposição da estrutura em sub-sistemas.

A decomposição em sub-sistemas está mostrada na figura 2 abaixo. Usa-se somente um sistema de coordenadas para descrever as duas vigas, já que elas são paralelas e possuem o mesmo comprimento. Para a barra rígida, BD, não é necessário um sistema de coordenadas.

O sistema possui duas interfaces. O ponto B e o ponto D. Estas estão mostradas também na figura 2. Nestas interfaces são aplicadas as condições de equilíbrio.

## 2) Condições de Equilíbrio nas Interfaces.

As condições de Equilíbrio nas interfaces B e D estão escritas ao lado da figura 2.



## 3) Compatibilidade Cinemática

Considerando-se que a barra BD é rígida, não existe variação de comprimento da barra BD, conseqüentemente a flecha do ponto B na viga 2 é igual à flecha do ponto D na viga 1. Matematicamente:

$$v_{1D} = v_{2B}$$

Ou ainda

$$v_{1D} = v_1(x = L) = v_2(x = L) = v_{2B}$$

## 4) Expressões para as flechas ou deslocamentos nas extremidades das vigas.

Utilizando-se a expressão das flechas fornecida na figura auxiliar podemos escrever:

$$v_1(x = L) = \frac{F_1}{6E_1I_{ZZ1}}(L^3 - 3LL^2) = -\frac{(F - F_{BD})L^3}{3E_1I_{ZZ1}}$$

$$v_2(x = L) = \frac{F_2}{6E_2I_{ZZ2}}(L^3 - 3LL^2) = -\frac{F_{BD}L^3}{3E_2I_{ZZ2}}$$

Aplicando-se a compatibilidade cinemática entre as duas expressões acima temos:

$$v_1(x=L) = -\frac{(F - F_{BD})L^3}{3E_1I_{ZZ1}} = v_2(x=L) = -\frac{F_{BD}L^3}{3E_2I_{ZZ2}}$$

Ou ainda

$$-\frac{(F - F_{BD})L^3}{3E_1I_{ZZ1}} = -\frac{F_{BD}L^3}{3E_2I_{ZZ2}}$$

Cuja solução é:

$$F_{BD} = F \frac{E_2I_{ZZ2}}{(E_1I_{ZZ1} + E_2I_{ZZ2})}$$

Esta é a solução procurada.

5) Valor numérico da força.

Considerando-se que  $F=5000 \text{ N}$  e que  $E_2I_{ZZ2} = 2E_1I_{ZZ1}$  podemos escrever:

$$F_{BD} = F \frac{2E_1I_{ZZ1}}{(E_1I_{ZZ1} + 2E_1I_{ZZ1})} = F \frac{2}{3} = 5000N \frac{2}{3} = 3.333,00N$$

\*\*\*\*\*

\*\*\*\*\*

**Questão 03** (Valor 4.0): Uma viga não homogênea submetida a um carregamento uniformemente distribuído  $q_0$  está mostrada na figura 3. Aplicando o princípio das forças virtuais determine:

- uma expressão analítica para a rotação  $\theta_{ZA}$  do ponto A,
- considerando-se que  $E_2 I_{ZZ2} = 2E_1 I_{ZZ1} = 2,268 \times 10^{11} \text{ N.mm}^2$ ,  $L=600\text{mm}$ ,  $q_0=12\text{kN/m}$ , determine o valor numérico da rotação  $\theta_{ZA}$ .

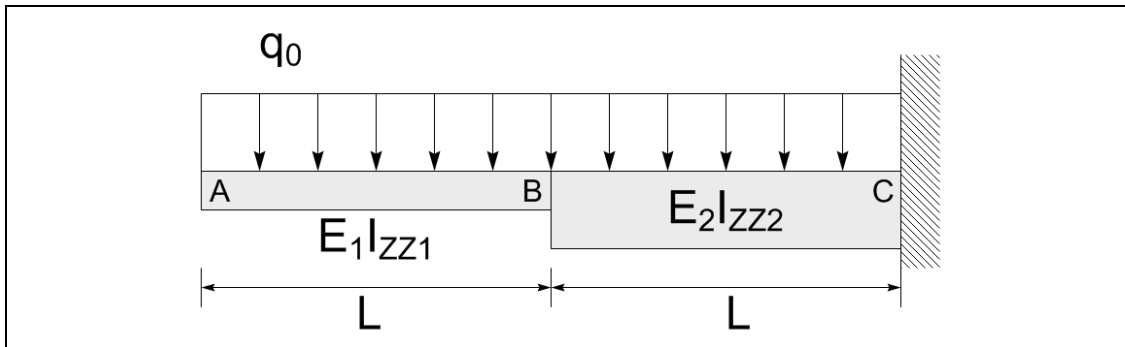


Figura 3: Viga não homogênea

Solução:

#### 1) Determinação do estado auxiliar dos esforços internos

A figura 2 mostra o sistema original bem como o diagrama de momento fletor  $M_z(x)$ . Já a figura 3 mostra o estado auxiliar necessário para a determinação da rotação  $\theta_{ZA}$ , bem como o momento fletor  $\bar{M}_z(x)$  resultante na viga não-homogênea.

Como o sistema é isostático os esforços internos não dependerão da geometria da seção transversal da viga, nem de seu material. Estes esforços internos podem ser obtidos pelo Método das Seções ou integrando-se a Equação Diferencial de Equilíbrio da viga:

$$\frac{d^2 M_z(x)}{dx^2} = q(x)$$

Os momentos fletores do estado original  $M_z(x)$  e do estado auxiliar  $\bar{M}_z(x)$  são, respectivamente (ver figuras 2 e 3):

$$M_z(x) = -q_0 \frac{x^2}{2}$$

e

$$\bar{M}_z(x) = +\bar{M}_z$$



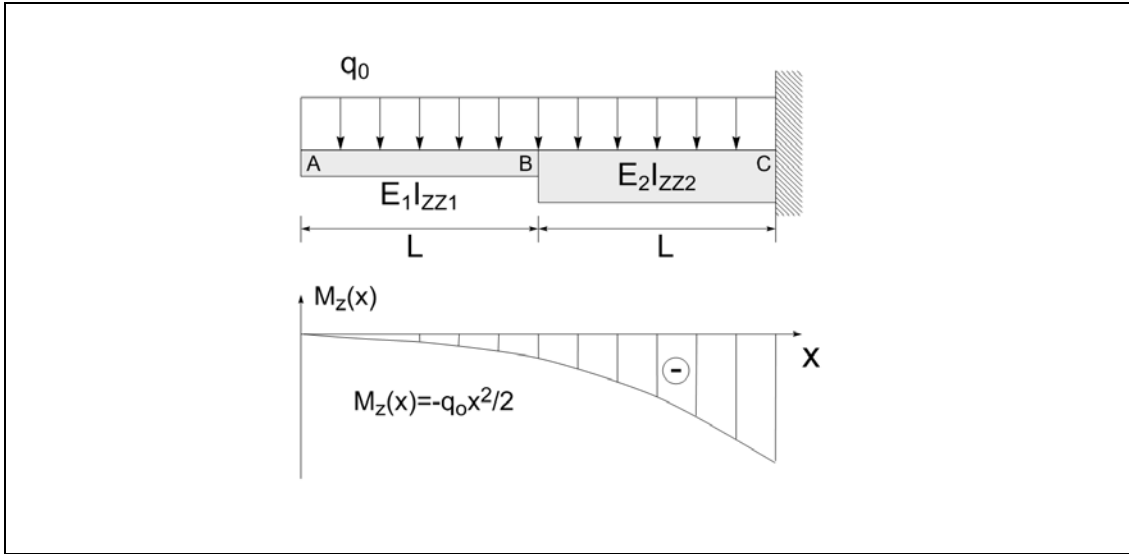


Figura 2: Sistema original e momento fletor  $M_z(x)$

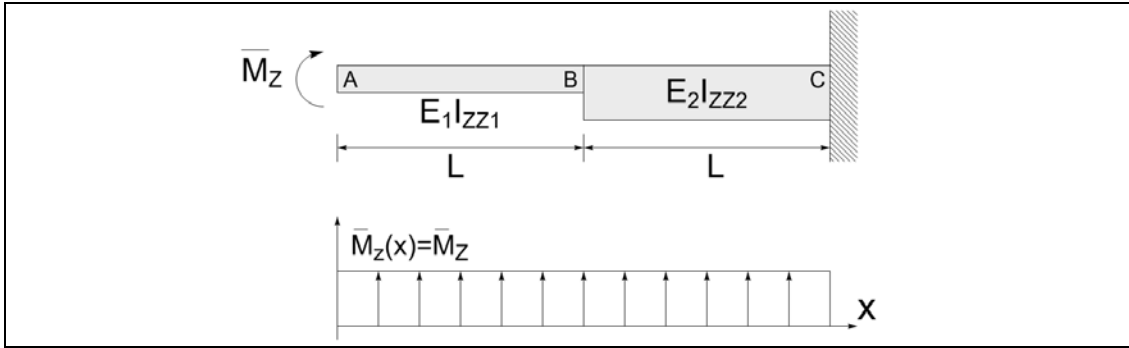


Figura 3: Sistema auxiliar para cálculo de  $\theta_{ZA}$  e momento fletor resultante  $\bar{M}_z(x)$

## 2) Trabalho das Forças Virtuais

$$\delta W_E = \bar{M}_Z \delta \theta_{ZA} = \bar{M}_Z \mu \theta_{ZA}$$

## 3) Energia de Deformação

$$\delta U = \mu \left[ \int_{x=0}^{x=L} \frac{\bar{M}_Z(x) M_Z(x)}{E_1 I_{ZZ1}} dx + \int_{x=L}^{x=2L} \frac{\bar{M}_Z(x) M_Z(x)}{E_2 I_{ZZ2}} dx \right]$$

Ou aplicando as expressões para os momentos:

$$\begin{aligned} \delta U &= \mu \left[ \int_{x=0}^{x=L} \frac{\bar{M}_Z}{E_1 I_{ZZ1}} \left( -\frac{q_0 x^2}{2} \right) dx + \int_{x=L}^{x=2L} \frac{\bar{M}_Z}{E_2 I_{ZZ2}} \left( -\frac{q_0 x^2}{2} \right) dx \right] \\ \delta U &= -\mu \left[ \frac{\bar{M}_Z q_0}{2 E_1 I_{ZZ1}} \int_{x=0}^{x=L} x^2 dx + \frac{\bar{M}_Z q_0}{2 E_2 I_{ZZ2}} \int_{x=L}^{x=2L} x^2 dx \right] \end{aligned}$$

Ou ainda

$$\delta U = -\mu \left[ \frac{\overline{M_z} q_0}{2E_1 I_{ZZ1}} \left[ \frac{x^3}{3} \right]_{x=0}^{x=L} + \frac{\overline{M_z} q_0}{2E_2 I_{ZZ2}} \left[ \frac{x^3}{3} \right]_{x=L}^{x=2L} \right]$$

$$\delta U = -\mu \frac{\overline{M_z} q_0 L^3}{6} \left[ \frac{1}{E_1 I_{ZZ1}} + \frac{7}{E_2 I_{ZZ2}} \right]$$

4) Aplicando o Princípio da Forças Virtuais

$$\delta W_E = \delta U$$

$$\overline{M_z} \mu \theta_{ZA} = -\mu \frac{\overline{M_z} q_0 L^3}{6} \left[ \frac{1}{E_1 I_{ZZ1}} + \frac{7}{E_2 I_{ZZ2}} \right]$$

Ou ainda:

$$\theta_{ZA} = -\frac{q_0 L^3}{6} \left[ \frac{1}{E_1 I_{ZZ1}} + \frac{7}{E_2 I_{ZZ2}} \right]$$

O sinal negative indica que a rotação real é contrária ao sentido do momento fletor auxiliar  $\overline{M_z}(x)$  aplicado na extremidade da viga.

5) Valor numérico da rotação

Considerando-se que  $E_2 I_{ZZ2} = 2E_1 I_{ZZ1} = 2,268 \times 10^{11} N.mm^2$  podemos escrever:

$$\theta_{ZA} = -\frac{q_0 L^3}{6} \left[ \frac{1}{E_1 I_{ZZ1}} + \frac{7}{E_2 I_{ZZ2}} \right] = -\frac{q_0 L^3}{6E_1 I_{ZZ1}} \left[ \frac{1}{1} + \frac{7}{2} \right] = -\frac{9q_0 L^3}{12E_1 I_{ZZ1}} = -\frac{3q_0 L^3}{4E_1 I_{ZZ1}}$$

Ou ainda:

$$\theta_{ZA} = -\frac{3q_0 L^3}{4E_1 I_{ZZ1}} = -\frac{3(12N/mm)(600mm)^3}{4(1.134 \times 10^{11} N.mm^2)} = -1.714 \times 10^{-3} = 0,001714(rad)$$

\*\*\*\*\*